

Rev Esp Nutr Hum Diet. 2020; 24(1).  
doi: 10.14306/renhyd.24.1.746 [ahead of print]

Freely available online - OPEN ACCESS



Revista Española de Nutrición Humana y Dietética

Spanish Journal of Human Nutrition and Dietetics

## MATERIALES ADICIONALES

Vargas Hernández JE, Rey Buitrago M. Frutas enteras y expresión génica inflamatoria: Un estudio piloto in vivo en humanos. Rev Esp Nutr Hum Diet. 2019; 24(1). doi: 10.14306/renhyd.24.1.746 [ahead of print]

La Revista Española de Nutrición Humana y Dietética se esfuerza por mantener a un sistema de publicación continua, de modo que los artículos se publiquen antes de su formato final (antes de que el número al que pertenecen se haya cerrado y/o publicado). De este modo, intentamos poner los artículos a disposición de los lectores/usuarios lo antes posible.

*The Spanish Journal of Human Nutrition and Dietetics strives to maintain a continuous publication system, so that the articles are published before its final format (before the number to which they belong is closed and/or published). In this way, we try to put the articles available to readers/users as soon as possible.*

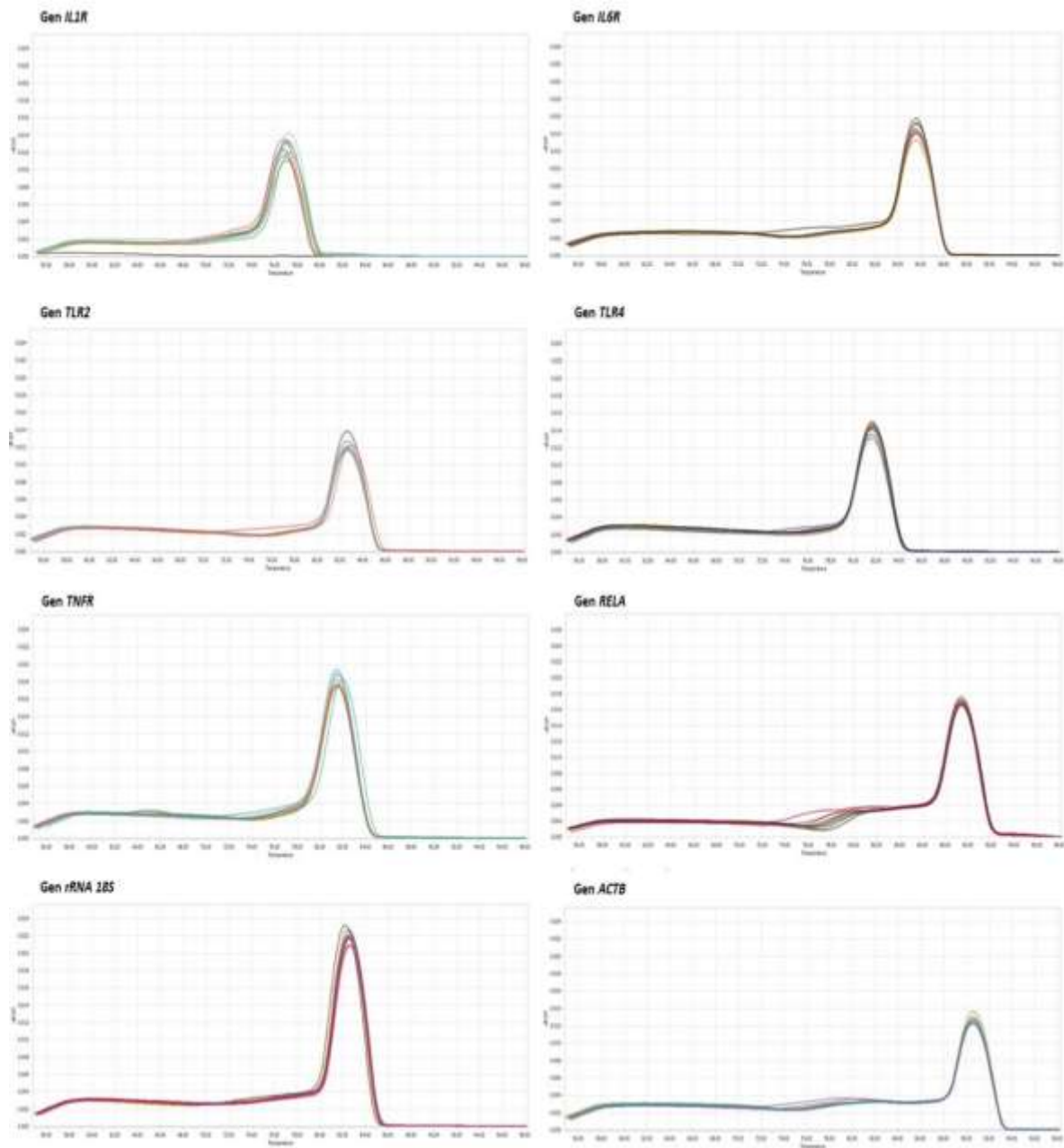
Esta obra está bajo una licencia de [Creative Commons Reconocimiento-NoComercial-CompartirIgual 4.0 Internacional](https://creativecommons.org/licenses/by-nc-sa/4.0/)

MA 1. Cebadores de los genes inflamatorios analizados en la investigación.

Gen	RNAs (ID_NCBI)	Cebadores (Primers)				
		Secuencia	%GC	Tm (°C)	Amplicón (pb)	Eficiencia promedio
<i>IL1R (IL1R1)</i>	NM_000877.3 NM_001288706.1	F: CTGGACCCCTTGGTAAAAGAC R: AGAGGACAGGGACGAACATC	52,4 55,0	61,3 60,5	179	2,27
<i>IL6R</i>	NM_000565.3 NM_001206866.1 NM_181359.2	F: GCACTTGCTGGTGGATGTTT R: AGAGCACAGCCTTTGTCGTC	55,0 55,0	60,5 60,5	128	2,10
<i>TLR2</i>	NM_003264	F: GCCCATTGCTCTTTCACTGC R: TGAGCTGCCCTTGCAGATAC	55,0 55,0	60,5 60,5	175	2,01
<i>TLR4</i>	NM_138554.4 (v1) NM_003266.3 (v3) NM_138557.2 (v4)	F: TGC GTGAGACCAGAAAGCTG R: TAGAGAGGTGGCTTAGGCTCTG	55,0 54,5	60,5 64,0	259 (v1) 379 (v3) 92 (v4)	2,07
<i>TNFR (TNFRSF1A)</i>	NM_001065.3	F: GTTGTGCCTACCCAGATTG R: CGATTTCCACAAACAATGGAG	55,0 45,5	60,5 60,3	175	2,04
<i>RELA</i>	NM_001145138.1 NM_001243984.1 NM_001243985.1 NM_021975.3	F: CTCCTTTTCGCAAGCTGATGTG R: TTCTCCTCAATCCGGTGACG	50,0 55,0	62,1 60,5	192	2,03
<i>ACTB</i>	NM_001101.3	F: AGCACAGAGCCTCGCCTTTG R: AATCCTTCTGACCCATGCCAC	60,0 54,6	62,5 64,0	212	2,06
<i>rRNA 18S (RNA18S5)</i>	NR_003286.2	F: GTAACCCGTTGAACCCCATTC R: AGGCCTCACTAAACCATCC	52,4 55,0	61,3 60,5	165	1,93

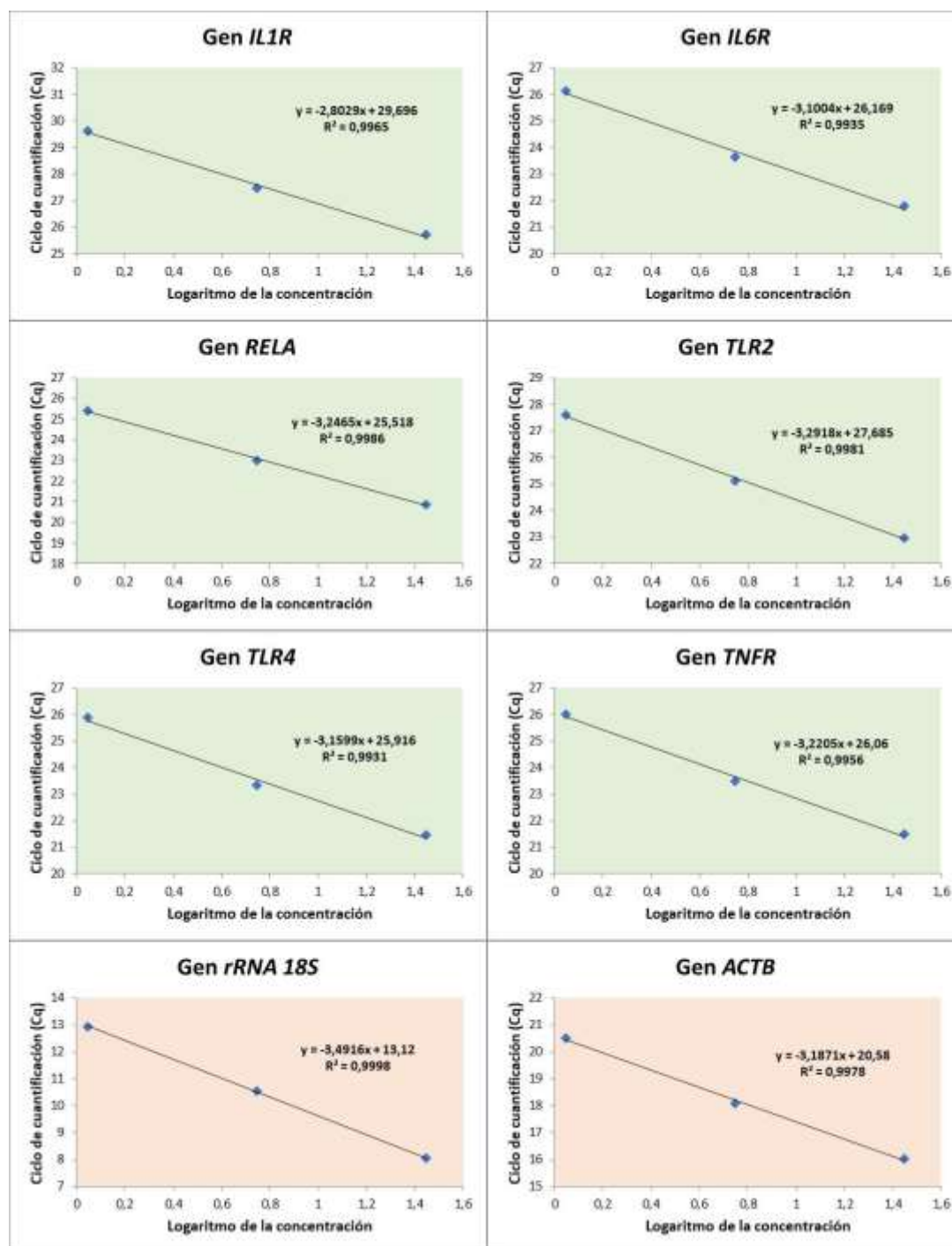
Los cebadores fueron diseñados por medio de las herramientas bioinformáticas *Primer-Blasty Primer3 Input* | ID\_NCBI. Código asignado a la secuencia de RNA en la base de datos del NCBI. %GC. Porcentaje de guanina:citosina. Tm. Temperatura de fusión (melting) reportada por la compañía fabricante. V. Variante del gen | *IL1R (IL1R1)*. Interleukin 1 receptor type 1. *IL6R*. Interleukin 6 receptor. *TLR2*. Toll-like receptor 2. *TLR4*. Toll-like receptor 4. *TNFR (TNFRSF1A)*. TNF receptor superfamily member 1A. *RELA*. RELA proto-oncogene, NF-kB subunit. *ACTB*. Actin beta. *rRNA 18S (RNA18S5)*. RNA, 18S ribosomal 5.

MA 2. Curvas de fusión de los cebadores.



Las gráficas muestran los picos de fusión para los cebadores de cada uno de los genes analizados en el estudio. | IL1R. Interleukin 1 receptor type 1. IL6R. Interleukin 6 receptor. TLR2. Toll-like receptor 2. TLR4. Toll-like receptor 4. TNFR. TNF receptor superfamily member 1A. RELA. RELA proto-oncogene, NF-kB subunit. rRNA 18S (RNA18S5). RNA, 18S ribosomal 5. ACTB. Actin beta.

MA 3. Curvas estándar de los cebadores.



Las gráficas muestran la regresión del ciclo de cuantificación (Cq) y el logaritmo de la concentración de la muestra de cDNA para el par de cebadores de cada uno de los genes analizados en el estudio. | Las gráficas con fondo verde corresponden a los genes inflamatorios mientras que las gráficas con fondo rosa identifican a los genes de referencia | *IL1R*. Interleukin 1 receptor type 1. *IL6R*. Interleukin 6 receptor. *TLR2*. Toll-like receptor 2. *TLR4*. Toll-like receptor 4. *TNFR*. TNF receptor superfamily member 1A. *RELA*. *RELA* proto-oncogene, NF- $\kappa$ B subunit. *rRNA 18S* (*RNA18S5*). RNA, 18S ribosomal 5. *ACTB*. Actin beta.

MA 4. Cálculo de la puntuación de ingesta de alimentos (PI).

Opción de frecuencia	Factor de equivalencia <sup>⌘</sup>	Factor de escalamiento <sup>†</sup>	Ejemplo del cálculo de la puntuación (score) de consumo				
			A	B	C	D	E
Casi nunca	0,0164	0,1667	Frutas enteras	13	4	0,0656	0,4254
1-3 veces/mes	0,0667				3	0,2001	
1 vez/mes	0,1429				1	0,1429	
2-4 veces/mes	0,4286				5	2,1430	
5-6 veces/mes	0,7857						
1 vez/día	1,0000						
2-3 veces/día	2,5000						
4-6 veces/día	5,0000						
Más de 6 veces/día	6,0000						
Totales					13	2,5516	

<sup>⌘</sup> Este ítem representa un valor de número de veces por día | Este ítem se calculó dividiendo 1 entre el valor más alto del factor de equivalencia | A. Grupo de alimentos. B. Número de ítems de alimentos para el grupo indicado en A. C. Número de respuestas afirmativas por opción de frecuencia. D. Producto de cada factor de equivalencia multiplicado por su ítem correspondiente en C. E. Producto del total de D multiplicado por el factor de escalamiento.

